

## О ВОЗМОЖНОСТИ ЭКСПЕРИМЕНТАЛЬНОГО ИССЛЕДОВАНИЯ ТОПОЛОГИЧЕСКИХ СЕЧЕНИЙ БЕЗ ИСПОЛЬЗОВАНИЯ ФИЛЬМОВЫХ ДЕТЕКТОРОВ

И.Д.Манджавидзе\*, А.Н.Сисакян

Обсуждается постановка чисто электронного эксперимента по изучению топологических сечений  $\sigma_n$  в области  $n \gg \bar{n}$ . Показано, что калориметрические измерения, отбирающие события, когда энергии рожденных частиц ограничены сверху, позволяют проверить предсказание мультипериферической модели с высокой точностью в области  $n > \bar{n}$ .

Работа выполнена в Лаборатории теоретической физики ОИЯИ.

### About a Possibility of Experimental Investigation of Topological Cross Sections without Using Film Detectors

I.D.Mandzhavidze, A.N.Sissakian

Testing of the topological cross sections  $\sigma_n$  in  $n \gg \bar{n}$  region is discussed for the purely electronic experiment. It is shown that calorimetric measurements, which allow one to select events with energy of produced particles, limited from above, allow the prediction of the multiperipheral model to be checked with a high accuracy in the  $n > \bar{n}$  region.

The investigation has been performed at the Laboratory of Theoretical Physics, JINR.

1. Для адрон-адронных взаимодействий при высоких энергиях наиболее характерное явление — множественное рождение частиц. Однако с запуском ускорителей нового поколения интерес (в первую очередь экспериментаторов) к таким процессам заметно упал, что имеет очевидное объяснение.

Так, в области множественностей  $n \sim \bar{n}(s)$ , где сечения достигают максимума, при современных энергиях рождается  $20 \div 40$  частиц (при  $\sqrt{s} = 540$  ГэВ средняя множественность заряженных частиц  $\bar{n} = 28,3 \pm 0,2^{1/2}$ ). Чтобы найти  $\sigma_n$  при  $n \sim \bar{n}$  примерно с 10% точностью, надо просмотреть  $\sim 10^4$  событий.

---

\* Институт геофизики АН ГССР, Тбилиси

Таким образом, суммируя события с множественностью до  $3\bar{n}$ , надо пересчитать астрономическое число,  $\sim 10^{10}$  треков.

Это показывает, что обработка данных эксперимента, совмещающего триггер (с коэффициентом подавления не меньше чем  $10^{5/1.2}$ ) с пленочным детектором (например, стримерной камерой), по изучению процессов рождения очень большого числа частиц (когда  $n \gg \bar{n}$ ) требует чрезмерных затрат. Вместе с тем процессы рождения  $n \gg \bar{n}$  числа частиц имеют фундаментальное значение, поскольку в таких процессах возбуждается максимально большое, при данной энергии  $\sqrt{s}$ , число степеней свободы сталкивающихся адронов.

Мы полагаем, что имеет смысл подойти к проблеме экспериментального исследования процессов множественного рождения с иных позиций: так как предполагается исследовать процесс образования системы очень большого числа частиц, так же, как в статистической физике, надо пожертвовать детальностью, с которой фиксируется конечное состояние, что позволит, в частности, отказаться от использования пленочных детекторов (см. также п.5). Изложению этой идеи посвящена данная статья.

2. Рассмотрим, как иллюстрацию развиваемого подхода, следующую постановку задачи. Пусть на эксперименте отбираются события, в которых энергии рожденных частиц  $\epsilon_i$  ограничены:

$$\epsilon_i \leq \epsilon_0, \quad i = 1, 2, \dots, n \quad (1)$$

( $i$  нумеруют как заряженные, так и нейтральные частицы), где величина  $\epsilon_0$  фиксируется в пределах  $m \leq \epsilon_0 \leq E$  и

$$E = \sum_{i=1}^n \epsilon_i. \quad (2)$$

Тогда (1) означает, что

$$\sum_{i=1}^n \epsilon_i \leq \sum_{i=1}^n \epsilon_0 = n\epsilon_0. \quad (3)$$

То есть, с учетом закона сохранения энергии (2), условие (1) приводит к отбору событий с множественностью

$$n \geq \frac{E}{\epsilon_0} = n_{\min}. \quad (4)$$

При такой формулировке эксперимента наблюдаемой величиной будет ( $\epsilon_i = \sqrt{k_i^2 + m^2}$ )

$$T(\epsilon_0) = \sum_{n=n_{\min}}^{\infty} \int \prod_{i=1}^n \left\{ \frac{d^3 k_i}{(2\pi)^3 2\epsilon_i} \theta(\epsilon_0 - \epsilon_i) \right\} \delta(E - \sum_{i=1}^n \epsilon_i) \times \\ \times \delta^{(3)}(k - \sum_{i=1}^n k_i) |A_n|^2, \quad (5)$$

где  $A_n$  — амплитуда рождения  $n$  частиц. Отметим, что  $\theta$ -функции в (5) опускать нельзя.

Для наглядности перейдем в (5) к интегрированию по энергиям:

$$T(\epsilon_0) = \sum_{n=n_{\min}}^{\epsilon_0} \int \prod_{i=1}^n \frac{d\epsilon_i}{2\epsilon_i} \delta(E - \sum_{i=1}^n \epsilon_i) \omega_n(\epsilon_1, \dots, \epsilon_n), \quad (6)$$

где

$$\omega_n(\epsilon_1, \dots, \epsilon_n) = \int \prod_{i=1}^n \left\{ \frac{d^3 k_i}{(2\pi)^3} \delta(\epsilon_i - \sqrt{k_i^2 - m^2}) \right\} \delta^{(3)}(k - \sum_{i=1}^n k_i) |A_n|^2 \quad (7)$$

— условная (ненормированная) вероятность рождения  $n$  частиц с энергиями  $\epsilon_1, \dots, \epsilon_n$ .

В  $T(\epsilon_0)$  зависимость от  $\epsilon_0$  содержится в двух местах: в нижнем пределе суммирования по  $n$  и в интервалах по  $\epsilon_i$ . Очевидно, что так как  $\omega_n$  — неотрицательные функции,  $T(\epsilon_0)$  — растущая функция  $\epsilon_0$ . Причем

$$T(\epsilon_0) \leq \sigma_{\text{tot}}. \quad (8)$$

Предположим, что найдутся такие  $\epsilon_0$ , что в интервалах по  $\epsilon_i$  в (6) существенны  $\epsilon_i \ll \epsilon_0$ . Тогда

$$T(\epsilon_0) \approx \tilde{T}(\epsilon_0) = \sum_{n=n_{\min}}^{\infty} \int \prod_{i=1}^n \frac{d\epsilon_i}{2\epsilon_i} \delta(E - \sum_{i=1}^n \epsilon_i) \omega_n = \\ = \sum_{n=n_{\min}}^{\infty} \sigma_n. \quad (9)$$

Очевидно, что ошибка в таком определении  $T(\epsilon_0)$  равна

$$\Delta T(\epsilon_0) = \sum_{n=n_{\min}}^{\infty} n \int_{\epsilon_0}^{\infty} \frac{d\epsilon_1}{2\epsilon_1} \prod_{i=2}^n \frac{d\epsilon_i}{2\epsilon_i} \delta(E - \sum_{i=1}^n \epsilon_i) \omega_n. \quad (10)$$

То есть, если ввести эксклюзивное дифференциальное сечение  $\frac{\partial \sigma_n}{\partial \epsilon}$ , то

$$\Delta T(\epsilon_0) = \sum_{n=n_{\min}}^{\infty} \int_{\epsilon_0}^{\infty} d\epsilon \frac{\partial \sigma_n}{\partial \epsilon} = \bar{n}_{\epsilon_0} \tilde{T}(\epsilon_0), \quad (11)$$

где  $\bar{n}_{\epsilon_0}$  — среднее число частиц с энергиями  $\epsilon_i \geq \epsilon_0$ , если рождается  $n \geq n_{\min}$  число частиц. Тогда с учетом (11) мы можем считать, что

$$T(\epsilon_0) = \tilde{T}(\epsilon_0) (1 + \bar{n}_{\epsilon_0}). \quad (12)$$

Подчеркнем еще раз, что оценка (12) справедлива, если только  $\bar{n}_{\epsilon_0} \ll 1$  для данного  $\epsilon_0$ . Здесь мы опираемся на простое кинематическое соображение, что спектр рожденных частиц должен смягчаться с ростом  $n$  (качественную картину см. на рис.1). Насколько это предположение справедливо, мы рассмотрим, основываясь на мультипериферической модели, см.п.4.

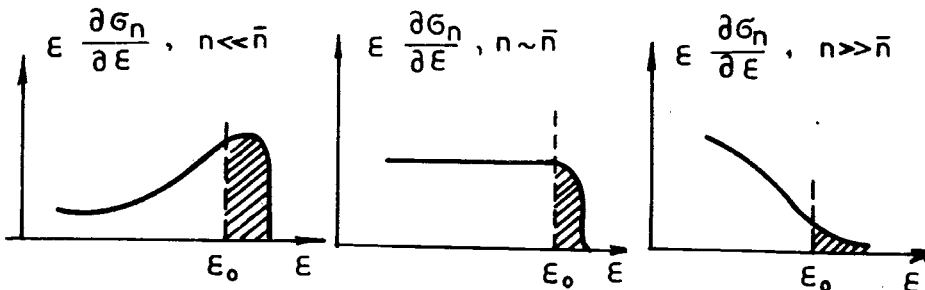


Рис.1

3. Рассмотрим теперь подробнее  $\tilde{T}(\epsilon_0)$ , которая определена в (9). Так как  $n$  — дискретная величина, в сумму по  $n$  очередное  $\sigma_n$  включится с изменением  $\epsilon_0$ , когда  $\epsilon_0 = \epsilon_n$ , где

$$\epsilon_n = E/n. \quad (13)$$

Причем, если  $\epsilon_0$  лежит в интервале

$$\epsilon_{n+1} < \epsilon_0 < \epsilon_n, \quad (14)$$

$\tilde{T}$  остается неизменной.

Итак, в интервалах (14)  $\tilde{T}$  остается постоянной и на порогах (13)  $\tilde{T}$  изменяется скачком на величину  $\sigma_n$ . При этом длина ступеньки

$$\Delta_n = \epsilon_{n-1} - \epsilon_n = \frac{E}{n(n-1)} \quad (15)$$

может быть велика при высоких энергиях. График  $\tilde{T}$  показан на рис.2.

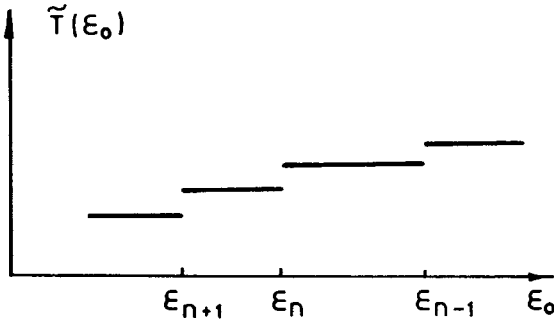


Рис.2

Поскольку высота ступеньки определяется  $\sigma_n$ , то

$$\tilde{T}(\epsilon_n + \frac{1}{2} \Delta_n) - \tilde{T}(\epsilon_n - \frac{1}{2} \Delta_n) = \tilde{\sigma}_n. \quad (16)$$

Найденное по этой формуле сечение  $\tilde{\sigma}_n$  совпадает с истинным значением  $\sigma_n$ , если ошибка

$$\Delta\sigma_n = \Delta T(\epsilon_n + \frac{1}{2} \Delta_n) - \Delta T(\epsilon_n - \frac{1}{2} \Delta_n), \quad (17)$$

мала, то есть, если

$$\bar{n}_{\epsilon_0} \ll 1. \quad (18)$$

4. Найдем поправку к  $\tilde{\sigma}_n$ , используя мультипериферическую модель. В рамках этой модели

$$\tilde{T}(\epsilon_0) = \sum_{n=n_{\min}}^{\infty} g^n \int \prod_{i=1}^n d\eta_i \delta(\xi - \sum_{i=1}^{h+1} \eta_i) = \sum_{n=n_{\min}}^{\infty} \frac{(g\xi)^n}{n!}, \quad (19)$$

( $\xi = \ln E$ ) и, используя (17),

$$\frac{\Delta\sigma_n}{\tilde{\sigma}_n} = n e^{-n \frac{\xi - \ln n}{\xi}} \frac{\text{sh } n(\xi - 2 \ln n)}{\xi} \approx n^{1 - \frac{n}{\xi}}. \quad (20)$$

Очевидно, что при  $n > \xi \gg 1, (\Delta\sigma/\tilde{\sigma}_n) \ll 1$ . Таким образом, мультипериферической моделью предсказывается ступенчатая картина, показанная на рис.2.

5. Рассмотренный выше пример имеет очевидное обобщение. Рассмотрим производящий функционал

$$T(z) = \sum_n \int \prod_{i=1}^n \left\{ \frac{d^3 k}{(2\pi)^3} \frac{1}{2\epsilon_1} Z(p_i) \right\} \delta^{(4)}(P - \sum_{i=1}^n p_i) (A_n)^2, \quad (21)$$

где  $P = (E, \vec{k})$  — 4-импульс сталкивающихся частиц и  $z(p_i)$  — произвольная функция 4-импульса,  $p_i = (\epsilon_i, \vec{k}_i)$  —  $i$ -й частицы. Введя функцию  $z(p)$ , мы можем по нашему усмотрению организовать импульсное распределение частиц в фазовом пространстве.

Предлагаемая идея заключается в том, что класс экспериментально доступных задач по изучению процессов множественного рождения можно существенно расширить, если учесть, что функция  $z(p)$  фактически задается триггером экспериментальной установки (выше был рассмотрен пример, когда  $z(p_i) = \theta(\epsilon_0 - \epsilon_i)$ ). Тогда  $T(z)$  — такая же измеримая величина, как и "дифференциальные" сечения

$$\sigma_n = \frac{1}{n!} \frac{\partial^n}{\partial z^n} T(z = \text{const}) \Big|_{z=0}, \quad \frac{\partial \sigma}{\partial p} = \frac{\delta}{\delta z(p)} T(z) \Big|_{z=1} \quad (22)$$

и т.д., которые традиционно изучаются.

Исследование  $T(z)$  имеет то преимущество, что эксперименты по ее изучению поддаются автоматизации, не требуют использования फिल्मовых детекторов. При этом, однако, мы теряем часть информации, доступной для "дифференциальных" характеристик (22), так как  $T(z)$  по определению — интегральная величина. Но, как отмечалось выше, так же, как в статистической физике, подобная жертва неизбежна, если мы хотим изучать действительно многочастичные события с  $n \gg \bar{n}$ .

Рассмотренный выше пример показывает также, что в определенных условиях (малость  $\bar{n}_\epsilon$ ) из  $T(z)$  можно найти с высокой точностью и "дифференциальные" характеристики. Это обстоятельство демонстрирует эффективность данного подхода.

6. Однако, учитывая естественный экспериментальный разброс,  $z(p)$  в (21) невозможно задать с произвольно высокой точностью. Обсудим этот вопрос на разобранный выше примере.

Пусть

- 1)  $\epsilon_1, \epsilon_2, \dots, \epsilon_n$  — энергии рожденных частиц,
- 2)  $\omega_n$  — вероятность рождения  $n$  частиц (см. (7)),
- 3)  $\epsilon'_1, \epsilon'_2, \dots, \epsilon'_n$  — измеренные энергии частиц,
- 4)  $\frac{1}{\sigma\sqrt{2\pi}} \exp\left\{-\frac{(\epsilon_1 - \epsilon'_1)^2}{2\sigma^2}\right\}$  задает разброс  $\epsilon'_1$  в ок-

рестности с дисперсией  $\sigma$ ,

5) ограничения (1) накладываются на измеренные (калориметром) энергии частиц:

$$\epsilon'_1 \leq \epsilon_0. \quad (23)$$

Тогда в эксперименте будет измеряться величина

$$T_\sigma(\epsilon_0) = \sum_n \int \prod_{i=1}^n \left\{ \frac{d\epsilon_i}{2\epsilon_i} \frac{d\epsilon'_i}{\sigma\sqrt{2\pi}} e^{-\frac{(\epsilon_i - \epsilon'_i)^2}{2\sigma^2}} \theta(\epsilon_0 - \epsilon'_i) \right\} \times \quad (24)$$

$$\times \delta(E - \sum_{i=1}^n \epsilon_i) \omega_n(\epsilon_1, \dots, \epsilon_n).$$

Отметим, что суммирование ведется по всем  $n$ .

Проинтегрировав в (24) по  $\epsilon'_i$ , получим

$$T_\sigma(\epsilon_0) = \sum_n \int \prod_{i=1}^n \left\{ \frac{d\epsilon_i}{2\epsilon_i} \Phi_\sigma(\epsilon_i, \epsilon_0) \right\} \times \quad (25)$$

$$\times \delta(E - \sum_{i=1}^n \epsilon_i) \omega_n(\epsilon_1, \dots, \epsilon_n).$$

где

$$\Phi_\sigma(\epsilon, \epsilon_0) = \int \frac{d\epsilon'}{\sqrt{2\pi}\sigma} e^{-\frac{(\epsilon - \epsilon')^2}{2\sigma^2}} \theta(\epsilon_0 - \epsilon') = \quad (26)$$

$$= \frac{1}{2} \left\{ \operatorname{erf}\left(\frac{\epsilon_0 - \epsilon}{2\sigma}\right) + 1 \right\} - \frac{1}{2} \left\{ \operatorname{erf}\left(-\frac{\epsilon}{\sqrt{2}\sigma}\right) + 1 \right\},$$

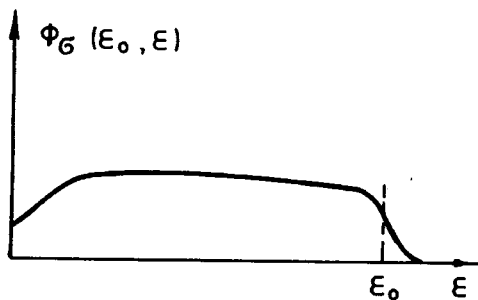


Рис.3

и  $\text{erf}(x)$  — функция ошибок ( $\text{erf}(\infty) = 1$ ,  $\text{erf}(-x) = -\text{erf}(x)$ ). График  $\Phi_\sigma$  показан на рис.3. Мы видим, что гауссовский разброс в измерении энергий рождения частиц приводит к "сглаживанию"  $\theta$ -функций, в результате чего ступенчатая картина рис.2 будет также сглаживаться.

Если учесть, однако, предсказание мультипериферической модели, то вышесказанное незначительно повлияет при  $n \gg \bar{n}$  на определение границ интегрирования по  $\epsilon_i$ . Значительно важнее влияние неточности измерения энергий  $\epsilon_i$  на определение  $n_{\min}$ . Вместе с этим нетрудно заметить (см. вывод неравенства (4)), что определение  $n_{\min}$  в значительной мере зависит от точности, с которой выполняется "закон сохранения"

$$\sum_{i=1}^n \epsilon_i' = E. \quad (27)$$

Подробное обсуждение этого вопроса будет дано в последующих публикациях.

В заключение мы благодарим В.Г.Кадышевского, В.А.Матвеева, Л.А.Слепченко, А.Н.Тавхелидзе за полезные советы и обсуждение.

#### ЛИТЕРАТУРА

1. UA5 Coll. CERN-EP/85-62, Geneva, 1985.
2. UA5 Coll. CERN-EP/82-179, Geneva, 1982.  
UA5 Coll. Phys.Lett., 1983, 121B, p.209.  
Rushbrooke J.G. CERN-EP/84-34, Geneva, 1984.

Рукопись поступила 26 февраля 1988 года.